

تأثير الرطوبة، درجة الحرارة والإشعاع الشمسي الكلي على كفاءة اللوح الكهروضوئي متعدد البلورة في مدينة دهوك - دراسة في المناخ التطبيقي -

الكلمات المفتاحية: المنظومة الكهروضوئية، الرطوبة النسبية، تأثير درجة الحرارة

خضر رشيد عبدالرحمن

م.م فاتن خالد عبدالباقي

طالب دكتوراه/ قسم الجغرافيا

أستاذ مساعد/ قسم الجغرافيا

جامعة الموصل/كلية التربية للعلوم الإنسانية

جامعة دهوك/كلية العلوم الإنسانية

Khdher.r@gmail.com

faten.khalid@uod.ac

الملخص

يعد كل من الرطوبة والإشعاع الشمسي الكلي ودرجة الحرارة من العناصر المناخية المؤثرة على أداء المنظومات الكهروضوئية، يقدم هذا البحث تأثير هذه العناصر على كفاءة اللوح الكهروضوئي (PV Panel) متعدد البلورة (Polycrystalline) تحت الظروف المناخية لمدينة دهوك، وتم التحقق عملياً من تأثير الرطوبة النسبية على الإشعاع الشمسي (Solar Radiation) ودرجة الحرارة (Temperature) وانعكاسها على مخرجات اللوح الشمسي من كمية الطاقة المولدة منها، حيث بينت نتائج الدراسة العملية أن العلاقة ما بين الرطوبة النسبية والإشعاع الشمسي علاقة غير خطية قوية ($R^2=0.858$)، فهي علاقة عكسية من الساعة (١٠:٠٠) وحتى الساعة (١٢:٠٠) بينما تكون العلاقة بينهما طردية من الساعة (١٣:٠٠) حتى الساعة (١٦:٠٠). كما أن العلاقة بين الإشعاع الشمسي وكفاءة اللوح الكهروضوئي علاقة أسية متوسطة ($R^2=0.6317$)، وأن العلاقة بين الإشعاع الشمسي وأقصى قدرة اللوح الشمسي علاقة خطية طردية قوية ($R^2=955$). وكذلك توصلت الدراسة إلى أن العلاقة بين درجة حرارة اللوح الكهروضوئي ونسبة الفاقد في كفاءة اللوح علاقة طردية تامة إذ أن نسبة الفاقد في كفاءة اللوح الكهروضوئي تزداد بمقدار (٠.٤٦٩٥%) لكل درجة حرارة فوق الـ (٢٥ م°).

١. المقدمة Introduction:

تعرف الرطوبة بانها كمية بخار الماء في الهواء، والرطوبة النسبية هي كمية بخار الماء الموجود في حجم معين من الهواء مقارنة بما يمكن أن يحمله ذلك الهواء من بخار الماء عند درجة حرارة معينة [1]. بينما تُعرف الخلايا الكهروضوئية (Photovoltaic cells) بأنها وحدات مصنوعة من أشباه الموصلات (Semiconductors) مثل (السليكون Silicon، زرنيخ الجاليوم Gallium Arsenide، تيلوريد الكاديوم Cadmium Telluride .. وغيرها) تقوم بتحويل ضوء الشمس إلى طاقة كهربائية مباشرة ضمن آلية تعرف بـ (التحويل الكهروضوئي Photovoltaic Conversion) والتي تقوم على استخدام الخواص الألكترونية لأشباه الموصلات [2]. عند ربط مجموعة من الخلايا مع بعضها البعض تسمى بـ (لوح شمسي أو وحدة Solar Panel or Module) وعند ربط مجموعة من (الألواح الشمسية Solar Panels) مع بعضها تسمى بـ (المصفوفة الشمسية Solar Array) وهناك العديد من العوامل المؤثرة على إنتاجية اللوح الكهروضوئي ومن أهمها: (الاشعاع الشمسي، الظلال، الغبار والحرارة).

الأشعاع الشمسي (Solar radiation) هي الوسيلة التي يتم من خلالها نقل الطاقة الشمسية بسرعة الضوء (٣٠٠٠٠٠٠ كم/ثا) وعلى شكل موجات كهرومغناطيسية (Electromagnetic waves) ذات أطوال موجية مختلفة [3] ويدعى مقدار ما يصل منها الى الحد العلوي للغلاف الجوي للأرض بالثابت الشمسي (Solar constant) وهناك ثلاث أنواع من الإشعاع الشمسي، **الإشعاع المباشر (Direct/Beam radiation)** وهو الإشعاع الذي يصل من الشمس إلى الأرض بخط مستقيم دون أن يتعرض إلى عمليات الانعكاس (Reflected) أو الأستطارة (Scatring) بواسطة العوائق الموجودة في الغلاف الجوي - كالغازات، السحب، جزيئات الملح، حبوب اللقاح، الغبار والمواد العالقة في الجو- وهذا الإشعاع القادم من الشمس يأتي من إتجاه محدد وتكون نسبته (٧٧%) من الإشعاع الشمسي الكلي (Total Radiation) [4].

أما **الإشعاع المنتشر أو أشعاع السماء (Diffuse/Sky's Radiation)** فهو الإشعاع الشمسي الذي يتجه إلى سطح الأرض بعد تعرضه إلى عمليات الأستطارة (Scatring) أو الأنعكاس (Reflected) بواسطة العوائق الموجودة في الغلاف الجوي لذلك فإن هذا الإشعاع

يأتي من اتجاهات مختلفة من الغلاف الجوي نحو الأرض وأن شدته أضعف بكثير من الأشعاع المباشر. وعندما تكون السماء صافية والشمس عالية في السماء، يشكل الإشعاع المنتشر (Diffuse Radiation) حوالي (٢٣%) من الإشعاع الشمسي الكلي (Total Radiation)، ومع انخفاض الشمس في السماء، تأخذ نسبة الإشعاع المنتشر في الارتفاع وذلك لأنه يقطع مسافة أطول داخل الغلاف الغازي وبالتالي تعرضه لعمليات الانعكاس (Reflected) والأستطارة (Scatring) بصورة أكبر، كما أن الظروف الجوية مثل السحب والتلوث تزيد من نسبة الإشعاع المنتشر (Diffuse Radiation) ففي يوم ملبد بالغيوم يكون (100%) تقريباً من الإشعاع الشمسي عبارة عن إشعاع منتشر. كما أن النسبة المئوية للإشعاع المنتشر تكون أعلى في العروض العليا والاماكن ذات المناخات الرطبة والممطرة مقارنة بالعروض الوسطى والدنيا وذات المناخات الجافة والشمسة [5].

والأشعاع المنعكس (Reflected Radiation) أو كما يسمى (الألبيدو Albedo) فهو الإشعاع الشمسي المباشر والمنتشر الذي يتعرض إلى الانعكاس (Reflected) بواسطة الأشياء غير الجوية الموجودة على سطح الأرض -كالأرض الأسفلت والحشائش والأشجار والجليد... وغيرها- [6]. وتبلغ نسبته (١٢%) من الأشعاع الشمسي المباشر والمنتشر، ولكل جسم على سطح الأرض قدرة على عكس نسبة معينة من الإشعاع الشمسي الساقط عليه فالجليد الجديد مثلاً تتراوح نسبة قدرة عكسه للإشعاع الشمسي الساقط عليه بحوالي (٨٠-٩٠%) والجليد القديم حوالي (٢٤%) بينما يعكس الأسفل (٤%) [7]، وان مجموع الأشعاع الشمسي المباشر (direct) والمنتشر (diffuse) والمنعكس (reflected) الساقط على سطح أفقي يسمى بالإشعاع الكلي أو الأشعاع العالمي (Global Radiation) [8].

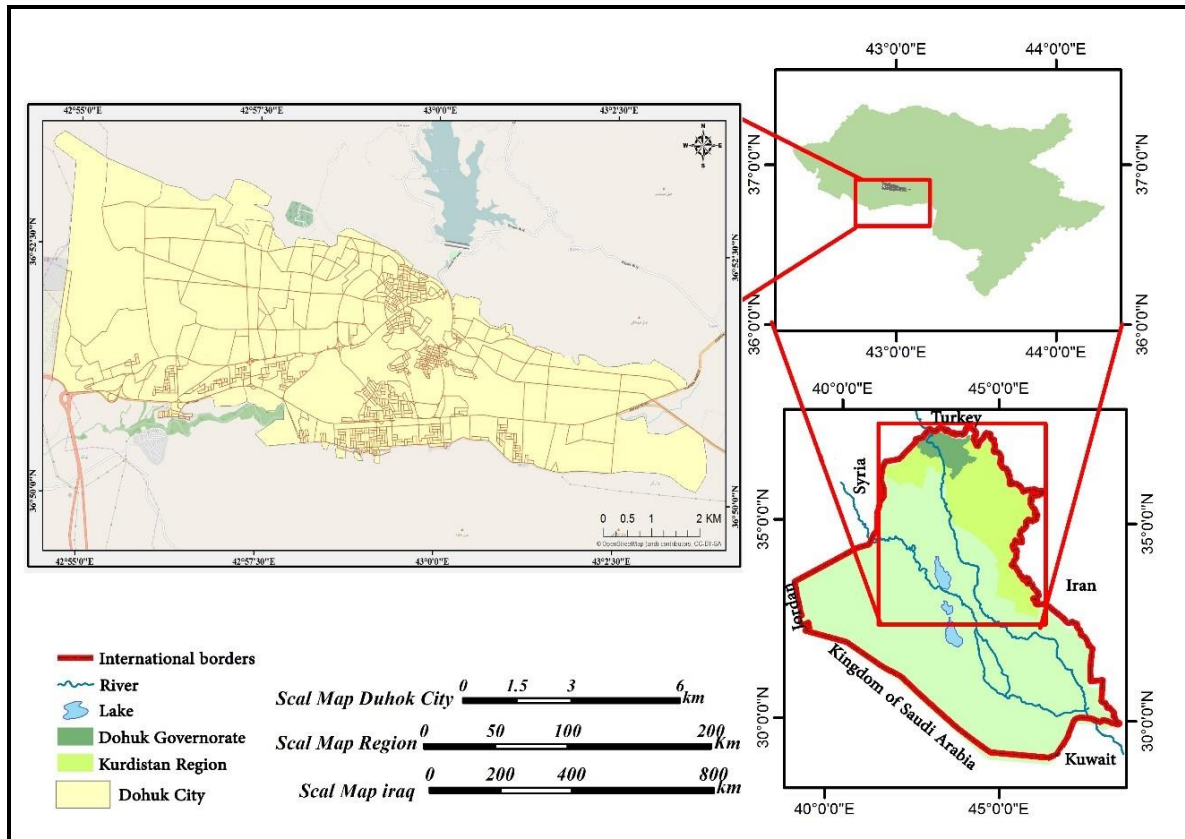
وتُعرف **كفاءة الخلايا الكهروضوئية** بأنها نسبة الطاقة المنتجة من الخلية الكهروضوئية من مجموع كمية الطاقة التي تستلمها هذه الخلية من الشمس. تعتمد كفاءة الخلايا الكهروضوئية على كثافة ضوء الشمس الساقط ودرجة حرارة الخلية الشمسية. لذلك، يتم التحكم بعناية في الظروف التي يتم بموجبها قياس كفاءة الخلايا الكهروضوئية من قبل الشركات المصنعة من أجل مقارنة أداء خلية بأخرى؛ إذ تقاس الخلايا الكهروضوئية الأرضية تحت ما يسمى ظروف الاختبار القياسية (Standard Test Condition) ويرمز له (STC) والتي تتمثل بإشعاع شمسي ١٠٠٠ وات على المتر المربع ودرجة حرارة (٢٥°) م وكتلة هواء (١.٥) [9].

وكفاءة الخلايا الكهروضوئية تعتبر المعيار الرئيسي لحساب متوسط الطاقة لخرج النظام الكهروضويسي بعد الأخذ بالاعتبار خط العرض والمناخ، فخلية شمسية ذات كفاءة ٢٠% بمساحة ١ سم مربع ستنتج طاقة كهربائية مقدارها ٢٠٠ ملي وات [10].

1.1 الحدود المكانية للدراسة **Spatial boundaries of the study**:

تعد مدينة دهوك مركز محافظة دهوك التي تقع في أقصى شمال العراق والشمال الغربي لإقليم كردستان يحدها شمالاً دولة تركيا وسوريا غرباً، وتأتي أربيل في جهتها الشرقية والجنوبية الشرقية، أما من جهة الغرب والجنوب فتحدها محافظة نينوى، أما احداثياً فتقع المدينة بين دائرتي العرض (36° 50') و (36° 52') شمالاً. وبين خطي طول (42° 55') و (43° 04') شرقاً (شكل ١).

شكل (١) الموقع الاحداثي والجغرافي لمنطقة الدراسة بالنسبة إلى محافظة دهوك والعراق [11].



2.1 مشكلة الدراسة :The Problem of study

تتمثل مشكلة الدراسة بالتساؤل الاتي:

" ما هو تأثير كل من الرطوبة، درجة الحرارة، والإشعاع الشمسي الكلي على كفاءة اللوح الكهروضوئي متعدد البلورة؟"

3.1 فرضية الدراسة Hypothesis of study

الفرضية الرئيسية للبحث تتمثل في "أن للرطوبة ودرجة الحرارة والإشعاع الشمسي الكلي تأثير واضح على كفاءة اللوح الكهروضوئي متعدد البلورة".

4.1 هدف الدراسة :The aim of study

الهدف الرئيس من الدراسة هو حساب تأثير كل من الرطوبة ودرجة الحرارة والإشعاع الشمسي الكلي على كفاءة اللوح الكهروضوئي متعدد البلورة في مدينة دهوك.

5.1 منهجية الدراسة :Approach of study

تم الاعتماد على المنهج التطبيقي وأسلوب الدراسة الميدانية.

٢. الأدوات وطريقة العمل :Materials and Methods

تم استخدام مجموعة من الأدوات والتي تشمل (صورة ١):

١- لوح شمسي سيليكوني متعدد البلورة (Polycrystallin Silicon Solar Module)
المبينة مواصفاته في الجدول (١):

جدول (١) مواصفات اللوح الشمسي المستخدم في التجربة

المقدار	الوصف
SOLAREX	الشركة المصنعة
SXM-100W Polycrystalline	النوع
100W	أقصى قدرى Peak Power (Pmax)
21.7 V	جهد الدائرة المفتوحة (Voc) Open Circuit Current
6.57 A	تيار الدائرة القصيرة (Isc) Short Circuit Current
18 V	جهد أقصى قدرة (Vmp) Max. Power Voltage
5.56 A	تيار أقصى قدرة (Imp) Max. Power Current
1030*670*30	الأبعاد (ملم) Dimension (mm)

٢-جهاز اردوينو Arduino Uno R3

٣-مستشعر رقمي للرطوبة النسبية ودرجة الحرارة (Digital Relative humidity and Temperature Sensor).

٤-مستشعر رقمي للجهد Voltage Sensor.

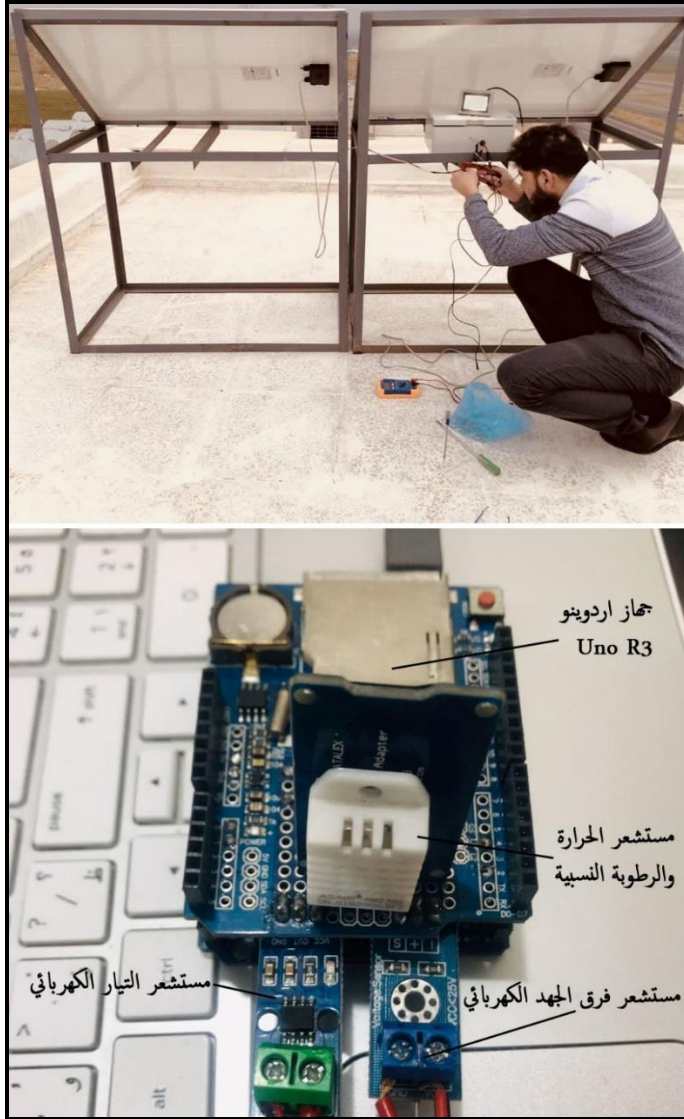
٥-مستشعر رقمي للتيار Current Sensor.

٦-محطة دهبوك المناخية لقياس الإشعاع الشمسي الكلي.

٧-مقاومة متغيرة Variable Resistance.

٨-حاسوب محمول Laptop.

صورة (١) الأجهزة والأدوات المستخدمة في الدراسة



أما طريقة العمل فتم تعريض اللوح إلى الإشعاع الشمسي متجهاً إلى الجنوب بزاوية ميل (34.87) وحساب جهد الدائرة المفتوحة (V_{OC}) عندما تكون المقاومة ($R=\infty\Omega$)، وحساب تيار الدائرة القصيرة (I_{SC}) عندما تكون المقاومة مساوية للصفر ($R=0\Omega$) ثم اخذ قراءات لقيم الجهد (V) و التيار (I) وذلك بتغيير قيم المقاومة، ورصدت النتائج من الساعة (10:00) وحتى الساعة (16:00)، أذ تم الحفظ التلقائي لبيانات الحرارة والرطوبة النسبية وقيم الجهد والتيار عن طريق جهاز اردوينو (Uno R3) مبرمج لهذا الغرض ومن ثم قمنا بعرض هذه البيانات بواسطة الحاسوب المحمول (Laptop)، إذ تم إيجاد تأثير الرطوبة على كل من الإشعاع الشمسي الكلي ودرجة الحرارة من خلال نماذج الأنحدار، كما تم حساب كفاءة اللوح الشمسي (η) عند كل ساعة من ساعات التجربة (جدول ١).

٣. النتائج والمناقشة Results and discussion:

1.3 حساب كفاءة اللوح الكهروضوئي (Calculate the solar Panel efficiency):

يمكن حساب كفاءة اللوح الكهروضوئي (η) رياضياً من النسبة بين أقصى قدرة مستحصل عليها من اللوح إلى كمية الأشعة الساقطة على اللوح في مساحة اللوح باستخدام المعادلة التالية [12]:

$$\eta = \frac{P_{max}}{G \times Area} \quad (1)$$

حيث أن:

G : الإشعاع الشمسي الكلي (Total Solar Radiation) مقاساً بالـ ($Watt/m^2$)

$Area$: مساحة اللوح المطلوب قياس كفاءتها مقاسة بالـ (m^2).

P_{max} : القدرة القصوى للوح الكهروضوئي، ويمكن الحصول عليها من المعادلة (٢) عندما تكون (V_{OC}) جهد الدائرة المفتوحة مقاسة بالفولت (Volts)، و (I_{SC}) تيار القصر مقاساً بالأمبير (Amp) و (FF) معامل الأمتلاء الذي يمكن الحصول عليه من المعادلة (٣) عندما تكون (V_{mp}) جهد أقصى قدرة مقاسة بالفولت (Volts)، و (I_{mp}) تيار أقصى قدرة كهربائية تنتجها اللوحة مقاسة بالأمبير (Amp):

$$P_{max} = V_{OC} I_{SC} FF \quad (2)$$

$$FF = \frac{I_{mp} \times V_{mp}}{I_{SC} \times V_{OC}} \quad (3)$$

جدول (٢) نتائج التجربة من الساعة (١٠:٠٠) وحتى الساعة (١٦:٠٠) ليوم ٢٣/٩/٢٠١٩.

تيار أقصى قدرة Max Power Current (I_{mp})	جهد أقصى قدرة Max Power Voltage (V_{mp})	تيار دائرة القصر Short Circuit Current (I_{sc})	جهد الدائرة المفتوحة Open Circuit Voltage (V_{oc})	درجة حرارة الهواء (°) Air Temperature (°C) (T_a)	الأشعاع الشمسي الكلي (واط/م ^٢) Solar Irradiance(W/m ²) (G)	الرطوبة النسبية (%) Relative humidity (%) (Rh)	الوقت Time
3.20	15.94	3.60	20.17	30.1	685.76	24	١٠:٠٠
3.71	16.46	4.30	20.17	31.9	801.52	20	١١:٠٠
4.90	14.91	4.53	20.17	32.3	825.44	19	١٢:٠٠
4.39	14.40	4.53	19.68	33.3	806.77	13	١٣:٠٠
4.10	13.89	٤.٠٠	19.68	34.3	729.05	10	١٤:٠٠
2.57	15.94	4.10	19.19	34.7	563.36	9	١٥:٠٠
١.٨٥	١٤.٢٠	٢.٥٠	19.68	34.5	378.65	8	١٦:٠٠

المصدر: التجربة العملية، ٢٣/٩/٢٠١٩.

وبالاعتماد على بيانات التجربة العملية المسجلة في الجدول (٢) تم حساب كفاءة اللوح الشمسي من خلال:

- حساب معامل الأمتلاء للوح الشمسي (FF) لكل ساعة:

$$FF_{at\ 10:00} = \frac{V_{mp} \times I_{mp}}{V_{oc} \times I_{sc}} = \frac{15.94 \times 3.20}{20.17 \times 3.60} = 0.7025$$

$$FF_{at\ 11:00} = \frac{V_{mp} \times I_{mp}}{V_{oc} \times I_{sc}} = \frac{16.46 \times 3.71}{20.17 \times 4.30} = 0.7041$$

$$FF_{at\ 12:00} = \frac{V_{mp} \times I_{mp}}{V_{oc} \times I_{sc}} = \frac{14.91 \times 4.90}{20.17 \times 4.53} = 0.7996$$

$$FF_{at\ 13:00} = \frac{V_{mp} \times I_{mp}}{V_{oc} \times I_{sc}} = \frac{14.40 \times 4.39}{19.68 \times 4.53} = 0.7091$$

$$FF_{at\ 14:00} = \frac{V_{mp} \times I_{mp}}{V_{oc} \times I_{sc}} = \frac{13.89 \times 4.10}{19.68 \times 4.00} = 0.7234$$

$$FF_{at\ 15:00} = \frac{V_{mp} \times I_{mp}}{V_{oc} \times I_{sc}} = \frac{15.94 \times 2.57}{19.19 \times 4.10} = 0.5207$$

$$FF_{at\ 16:00} = \frac{V_{mp} \times I_{mp}}{V_{oc} \times I_{sc}} = \frac{14.20 \times 1.85}{19.68 \times 2.50} = 0.5339$$

- حساب كفاءة اللوح الشمسي (η) لكل ساعة:

$$\eta_{at\ 10:00} = \frac{V_{oc} \times I_{sc} \times FF}{G \times A} = \frac{20.17 \times 3.60 \times 0.7025}{685.76 \times 0.69} = 10.7804\%$$

$$\eta_{at\ 11:00} = \frac{V_{oc} \times I_{sc} \times FF}{G \times A} = \frac{20.17 \times 4.30 \times 0.7041}{801.52 \times 0.69} = 11.0419\%$$

$$\eta_{at\ 12:00} = \frac{V_{oc} \times I_{sc} \times FF}{G \times A} = \frac{20.17 \times 4.53 \times 0.7996}{825.44 \times 0.69} = 12.8275\%$$

$$\eta_{at\ 13:00} = \frac{V_{oc} \times I_{sc} \times FF}{G \times A} = \frac{19.68 \times 4.53 \times 0.7091}{806.77 \times 0.69} = 11.3562\%$$

$$\eta_{at\ 14:00} = \frac{V_{oc} \times I_{sc} \times FF}{G \times A} = \frac{19.68 \times 4.00 \times 0.7234}{729.05 \times 0.69} = 11.3203\%$$

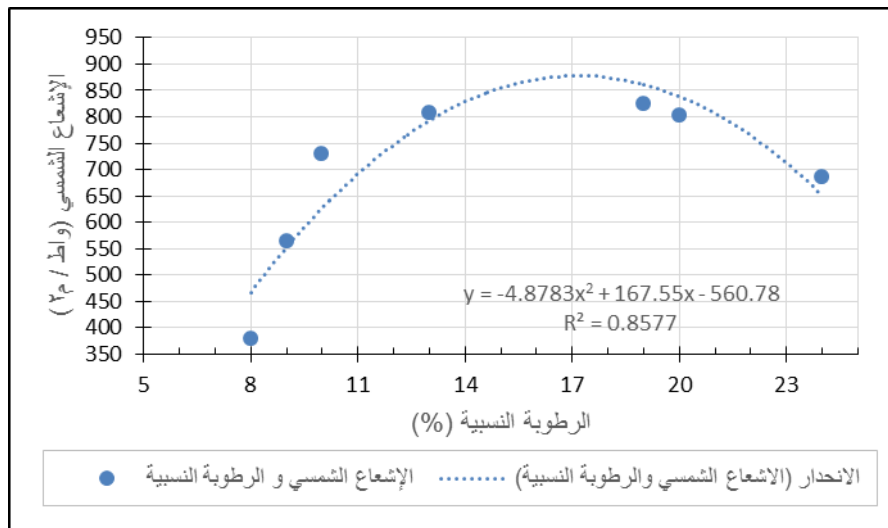
$$\eta_{at\ 15:00} = \frac{V_{oc} \times I_{sc} \times FF}{G \times A} = \frac{19.19 \times 4.10 \times 0.5207}{563.36 \times 0.69} = 10.5387\%$$

$$\eta_{at\ 16:00} = \frac{V_{oc} \times I_{sc} \times FF}{G \times A} = \frac{19.68 \times 2.50 \times 0.5339}{378.65 \times 0.69} = 10.0548\%$$

2.3 تأثير الرطوبة على الإشعاع الشمسي الكلي ودرجة حرارة الهواء:

عند تحليل نتائج التجربة الموضحة في الجدول (٢) والشكل (٢) تبين ان العلاقة ما بين الرطوبة النسبية والإشعاع الشمسي الكلي علاقة غير خطية قوية ($R^2=0.858$)، فهي علاقة عكسية من الساعة (١٠:٠٠) وحتى الساعة (١٢:٠٠) إذ أن الإشعاع الشمسي يقل مع زيادة الرطوبة النسبية، وذلك بسبب ان الرطوبة النسبية تؤدي الى زيادة تشتت الإشعاع الشمسي وبالتالي التقليل من شدته، بينما تكون العلاقة طردية ما بين الرطوبة النسبية والإشعاع الشمسي من الساعة (١٣:٠٠) حتى الساعة (١٦:٠٠) وإن هذه العلاقة الطردية ليس سببها الرطوبة النسبية إنما ترجع في الأساس إلى ضعف الإشعاع الشمسي بعد الساعة (١٢:٠٠) بسبب زيادة ميل الإشعاع الشمسي الواصل إلى سطح الأرض وقطعه مسافة أطول داخل الغلاف الغازي بعد الساعة (١٢:٠٠) وبالتالي تعرضه للمزيد من الانتشار والانعكاس والانتشار مما يؤدي إلى ضعفه.

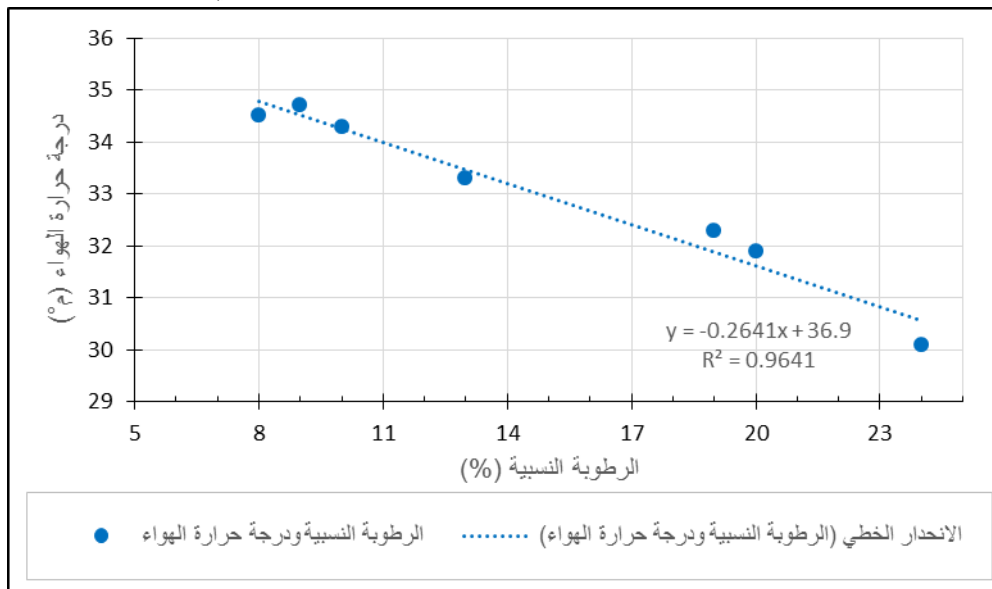
شكل (٢) العلاقة ما بين الرطوبة النسبية والإشعاع الشمسي الكلي في مدينة دهوك



المصدر: اعتماداً على جدول (٢).

أما بالنسبة للعلاقة ما بين الرطوبة النسبية ودرجة حرارة الهواء فهي علاقة خطية عكسية قوية [13] ($R^2=0.964$)، إذ أن الرطوبة النسبية تزداد بانخفاض درجة حرارة الهواء، وذلك لأن الهواء يقل حجمه عند انخفاض درجة حرارته ونتيجة لذلك تقل كمية بخار الماء اللازمة لكي يصل هذا الهواء إلى حالة التشبع وعليه فإن الرطوبة النسبية تقل والعكس صحيح (شكل ٣).

شكل (٣) العلاقة ما بين الرطوبة النسبية ودرجة الحرارة في مدينة دهوك



المصدر: اعتماداً على جدول (٢).

3.3 تأثير الأشعاع الشمسي الكلي ودرجة الحرارة على كفاءة اللوح الكهروضوئي:
من خلال التجربة العملية تم دراسة العلاقة بين المتغيرين المستقلين (الأشعاع الشمسي الكلي، ودرجة الحرارة) و المتغير التابع (كفاءة اللوح الشمسي η)، حيث قيس الإشعاع الشمسي

بواسطة محطة دهبوك المناخية وقيست الحرارة باستخدام مستشعر درجة الحرارة رقمي (Digital Temperature Sensor)، وأخذت قراءات مختلفة للتيار والجهد من الساعة (١٠:٠٠) وحتى (١٦:٠٠) لتوضيح الفرق في تغير معدل الإشعاع اليومي ودرجة الحرارة. عند تحليل الجدول (٢) نجد أن معدل الإشعاع الشمسي الكلي يتزايد تدريجياً في الصباح إذ تبلغ قيمة الأشعاع الشمسي (٦٨٥.٨) واط/م^٢ عند الساعة (١٠:٠٠) ويستمر بالزيادة إلى أن يبلغ ذروته عند منتصف النهار عند الساعة (١٢:٠٠) لتبلغ قيمة الأشعاع الشمسي (٨٢٥.٤) واط/م^٢ ثم يأخذ بالتراجع عند المساء لتصل قيمته عند الساعة (١٦:٠٠) إلى (٣٧٨.٧) واط/م^٢؛ وذلك بفعل زاوية سقوط أشعة الشمس التي تكون مائلة عند الشروق وعند الغروب بينما تكون عمودية عند منتصف النهار.

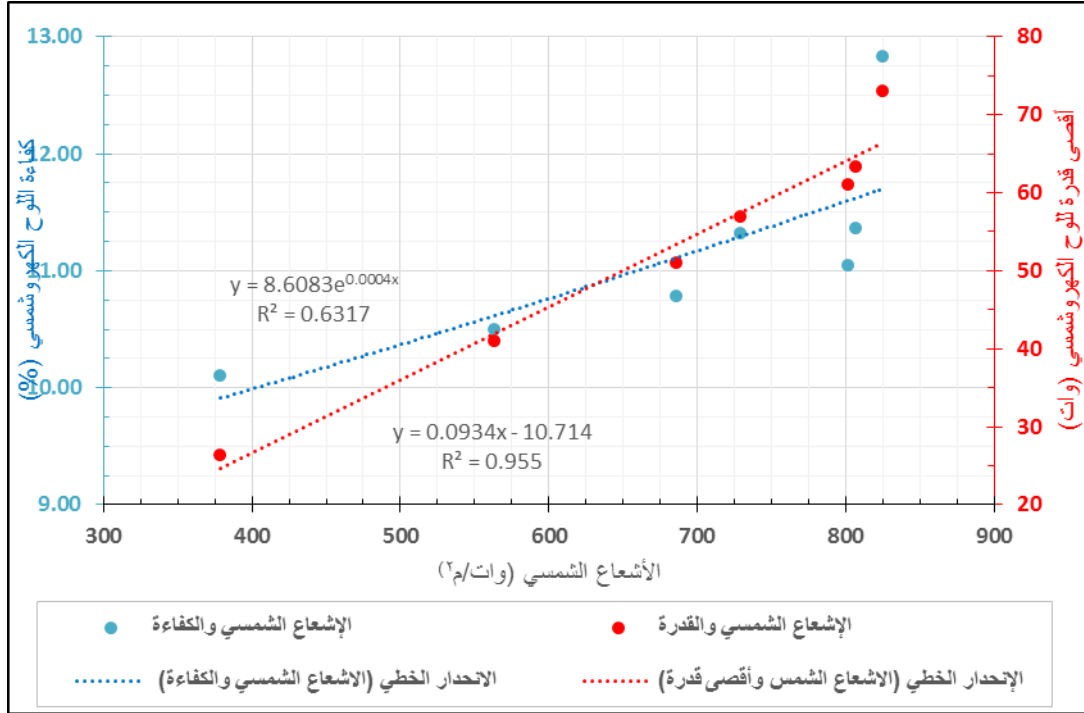
جدول (٣) تأثير الأشعاع الشمسي الكلي على كفاءة الخلية الشمسية في مدينة دهبوك ليوم

(٢٠١٩/٠٩/٢٣)

الزمن Time	درجة الحرارة (م) temperature (°C)	الإشعاع الشمي (واط/م ^٢) Solar Irradiance (W/m ²)	أقصى قدرة (واط) Maximum Power(W) (P_{mp})	معامل الإمتلاء (FF)	الكفاءة (%) Efficiency (%) (η)
١٠:٠٠	30.1	685.76	٥١.٠٠٨٠	0.7025	١٠.٧٨٠٤
١١:٠٠	31.9	801.52	٦١.٠٦٦٦	0.7041	١١.٠٤١٩
١٢:٠٠	32.3	825.44	٧٣.٠٥٩٠	0.7996	١٢.٨٢٧٥
١٣:٠٠	33.3	806.77	٦٣.٢١٦٠	0.7091	١١.٣٥٦٢
١٤:٠٠	34.3	729.05	٥٦.٩٤٩٠	0.7234	١١.٣٢٠٣
١٥:٠٠	34.7	563.36	٤٠.٩٦٥٨	٠.٥٢٠٧	10.5387
١٦:٠٠	34.5	378.65	٢٦.٢٧٠٠	٠.٥٣٣٩	10.0548

المصدر: التجربة العملية، ٢٠١٩/٠٩/٢٣.

شكل (٣) العلاقة بين الإشعاع الشمسي الكلي وكفاءة اللوح الشمسي وقدرة اللوح الكهروضويسي في مدينة دهوك

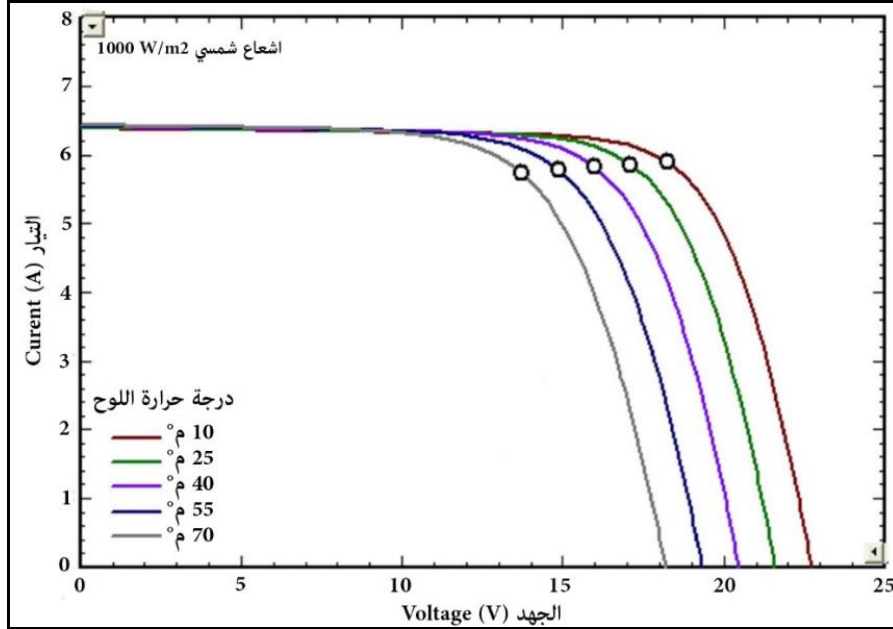


المصدر: بالاعتماد على الجدول (٣).

من الجدول (٣) والشكل (٣) نستنتج أن العلاقة بين الإشعاع الشمسي الكلي وكفاءة اللوح الشمسي علاقة خطية طردية متوسطة ($R^2=0.595$) كما أن العلاقة بين الإشعاع الشمسي وأقصى قدرة اللوح الشمسي علاقة خطية طردية قوية ($R^2=955$)؛ حيث أن الكفاءة وأقصى قدرة اللوح الشمسي تزداد تدريجياً مع زيادة الإشعاع الشمسي لتبلغ كل من الكفاءة والوقدرة ذروتها لتصلان (١٢.٨%) و (٧٣.١ واط) عند منتصف النهار والذان يتزامن مع ذروة الإشعاع الشمسي الذي يبلغ (٨٢٥.٤٤) واط / م^٢، بعد ذلك تأخذ الكفاءة والقدرة بالهبوط مع هبوط الإشعاع الشمسي لتأخذان أدنى قيمة لهما عند الساعة (١٦:٠٠) عند أقل قيمة إشعاع شمسي والبالغ (٣٧٨.٦٥) واط / م^٢ بواقع كفاءة (١٠.١%) وقدرة (٢٦.٣) واط. كذلك نستنتج أن كفاءة وقدرة اللوح الشمسي تزداد بمعدل (٠.٠٠٠٤١%) و (0.0934 واط) مع زيادة الإشعاع الشمسي بمقدار واحد واط/م^٢.

و يؤثر ارتفاع درجة الحرارة على خواص الخلية تأثيراً لا يمكن إهماله إذ يرتفع تيار الخلية (I) ارتفاعاً طفيفاً ويحدث هذا الارتفاع نتيجة لانخفاض طاقة الفجوة مع ارتفاع درجة الحرارة (T)، وينخفض الجهد (V) خطياً مع ارتفاع درجة الحرارة نسبة للتغير الذي يحدث لتيار التشبع

داخل شبه الموصل؛ وبالتالي تنخفض القدرة (شكل ٤)؛ ولهذا يكون هنالك إنخفاض في الكفاءة يجب أن يؤخذ في الاعتبار عند تصميم المنظومات الكهروضوئية [14].
شكل (٤) العلاقة بين درجة حرارة اللوح الكهروضوئي وخواصها الكهربائية [15].



ويتم اختبار كفاءة الألواح الشمسية في مختبرات خاصة تحت ظروف الاختبار القياسية (STC) تحت درجة حرارة (٢٥ م°) وتدون عليها القدرة التي تنتجها (P_{max}) والتيار (I) والجهد (V) عند هذه الحرارة، وهذه الحرارة تعبر عن حرارة الألواح الشمسية وليست درجة حرارة الهواء المحيط بها، وعلى أرض الواقع تختلف درجة حرارة الألواح الشمسية زيادةً أو نقصاناً على حسب المنطقة التي يتم تركيب الألواح الشمسية فيها، مع العلم ان حرارة اللوح الشمسي تكون أعلى من حرارة الجو المحيط فعندما تكون درجة حرارة الهواء (٣٥ م°) مثلاً فان درجة حرارة اللوح قد تصل الى (٦٠ م°) أو أكثر، لذلك نجد أن بعض شركات انتاج الألواح الشمسية تستخدم معيار درجة التشغيل المعيارية للخلية (Nominal Operating Cell Temperature) والتي يرمز لها بالرمز (NOTC) بدلاً من (STC) عند اختبار اللوحات، و (NOTC) تتخذ درجة حرارة ٤٥ م° (+/- ٣) كأساس لحساب كفاءة الألواح الشمسية بفعل ارتفاع درجة حرارة اللوح عند التشغيل، بالإضافة إلى أن هذا المعيار يفترض شدة أشعاع شمسي قدره (٨٠٠) وات/م^٢ لكي يحاكي ظروف تشغيل اللوح على أرض الواقع [16].

و تتأثر كفاءة الألواح الشمسية سلباً مع ارتفاع درجات الحرارة، فكلما زادت درجة حرارة اللوح كلما كانت انتاجية اللوح اقل بمقدار معين يختلف من تقنية الى اخرى ومن شركة مصنعة الى اخرى حيث يتم أحياناً ادراج هذه القيمة ضمن مواصفات اللوح بما يسمى بالمعامل الحراري (Temperature Coefficient) والتي تعني كمية الطاقة التي يفقدها اللوح الشمسي عند ارتفاع حرارته درجة حرارة اللوح درجة مئوية واحدة فوق الـ (٢٥) في حالة (STC) وفوق الـ (٤٥) في حالة (NOCT). وتتراوح قيمة المعامل الحراري بين (-0.35%_ -0.50%) للألواح السليكونية المتبلورة، وتتراوح ما بين (-0.20%_ -0.25%) لألواح الفلم الرقيق، فمثلاً لو لدينا لوح شمسي تم اختبار كفاءتها تحت ظروف (STC) وقيمة المعامل الحراري (Temperature Coefficient) الخاص به (-0.47%) فهذا يعني انه كلما ارتفعت درجة حرارة اللوح درجة مئوية واحدة فوق (٢٥ م°) تقل الطاقة المولدة من اللوح بمقدار (٠.٤٧%)؛ فاذا كان اللوح اشمسي أقصى قدرة له (P_{max}) ١٠٠ وات وكانت درجة حرارة اللوح حينها (٦٠ م°)، اي زيادة عن الـ (٢٥ م°) بمقدار (٣٥ م°) ، عندها ستقل الإنتاجية بمقدار (٠.٤٧) وات لكل درجة مئوية، وبالتالي الفقد الكلي الناتج بسبب الحرارة يساوي ١٦.٤٥ وات.

ويمكن تقدير درجة حرارة اللوح الشمسي وذلك من خلال درجة حرارة الهواء وكمية

الأشعاع الشمسي باستخدام المعادلة التالية [17]:

$$T_c = T_a + [G_{noon} \times (A)(B)] \quad (٤)$$

حيث أن:

T_c : درجة حرارة اللوح (م°).

T_a : درجة حرارة الهواء (م°).

G_{noon} : الأشعاع الشمسي وقت الظهيرة (بالكيلوات/م^٢).

A : معامل يتم الحصول عليه من خلال تطبيق المعادلة (٥) عندما تكون ($T_{c,NOCT}$) درجة حرارة التشغيل المعيارية للخلية وهي (٤٥ م°) للخلايا السليكونية المتبلورة و (٥٠ م°) للخلايا السليكونية غير المتبلورة:

$$A = \frac{T_{c,NOCT} - 20}{0.8} \quad (5)$$

B : معامل يتم الحصول عليه من خلال المعادلة (٦) عندما تمثل (η) كفاءة اللوح الشمسي (%):

$$B = 1 - \left(\frac{\eta}{0.9} \right) \quad (٦)$$

وبتطبيق معادلة (٤) على التجربة نحصل على حرارة الألواح الشمسية ليوم (٢٣/٩/٢٠١٩) (جدول ٤-١) وكما هو مبين أدناه:

$$T_{C \text{ at } 10:00} = 30.1 + \left[0.82544 \times \left(\frac{45 - 20}{0.8} \right) \left(1 - \frac{0.0145}{0.9} \right) \right] = 45.98$$

$$T_{C \text{ at } 11:00} = 31.9 + \left[0.82544 \times \left(\frac{45 - 20}{0.8} \right) \left(1 - \frac{0.0145}{0.9} \right) \right] = 47.78$$

$$T_{C \text{ at } 12:00} = 32.3 + \left[0.82544 \times \left(\frac{45 - 20}{0.8} \right) \left(1 - \frac{0.0145}{0.9} \right) \right] = 48.18$$

$$T_{C \text{ at } 13:00} = 33.3 + \left[0.82544 \times \left(\frac{45 - 20}{0.8} \right) \left(1 - \frac{0.0145}{0.9} \right) \right] = 49.18$$

$$T_{C \text{ at } 14:00} = 34.3 + \left[0.82544 \times \left(\frac{45 - 20}{0.8} \right) \left(1 - \frac{0.0145}{0.9} \right) \right] = 50.18$$

$$T_{C \text{ at } 15:00} = 34.7 + \left[0.82544 \times \left(\frac{45 - 20}{0.8} \right) \left(1 - \frac{0.0145}{0.9} \right) \right] = 50.58$$

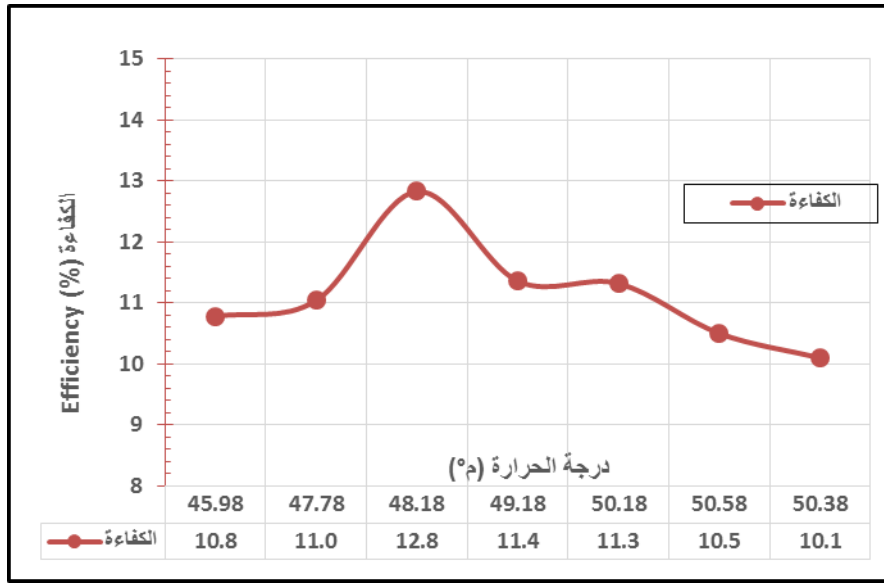
$$T_{C \text{ at } 16:00} = 34.5 + \left[0.82544 \times \left(\frac{45 - 20}{0.8} \right) \left(1 - \frac{0.0145}{0.9} \right) \right] = 50.38$$

جدول (٤) تأثير درجة حرارة الهواء ودرجة حرارة اللوح الكهروضويسي على كفاءة اللوح وقدرت في مدينة دهوك ليوم (٢٣/٩/٢٠١٩)

الكفاءة (%) Efficiency (%) (η)	درجة حرارة اللوح الشمسي (°م) Solar Cell temperature (°C)	درجة حرارة الهواء (°م) Air temperature (°C)	الإشعاع الشمي (واط/م ^٢) Solar Irradiance (W/m ²)	الزمن Time
١٠.٧٨٠٤	45.98	30.1	685.76	١٠:٠٠
١١.٠٤١٩	47.78	31.9	801.52	١١:٠٠
١٢.٨٢٧٥	48.18	32.3	825.44	١٢:٠٠
١١.٣٥٦٢	49.18	33.3	806.77	١٣:٠٠
١١.٣٢٠٣	50.18	34.3	729.05	١٤:٠٠
10.5387	50.58	34.7	563.36	١٥:٠٠
10.0548	50.38	34.5	378.65	١٦:٠٠

المصدر: التجربة العملية، 2019/09/23.

شكل (٥) تأثير درجة حرارة اللوح الكهروضويسي على كفاءته



المصدر: بالاعتماد على الجدول (٤).

من الجدول (٤) والشكل (٥) نجد للوهلة الأولى أن العلاقة بين درجة حرارة الهواء وحرارة اللوح الكهروضويسي وكفاءته وقدرة هذا اللوح تأخذ علاقة منحنية فهي طردية منذ بداية الصباح وحتى منتصف النهار عند الساعة (١٢:٠٠)، بعد ذلك تكون العلاقة عكسية حتى الساعة (١٥:٠٠) لتعود مرة أخرى العلاقة لتكون طردية عند الساعة (١٦:٠٠) إلا أنه في الحقيقة أن هذه العلاقة ترجع لتأثير الأشعاع الشمسي الذي يأخذ نفس العلاقة المذكورة وليس لتأثير درجة الحرارة، ولكي نقوم بحساب تأثير درجة الحرارة والهواء ودرجة حرارة اللوح الكهروضويسي على كفاءة اللوح علينا ان نقوم بتثبيت متغير الإشعاع الشمسي وهو أمر مستحيل على ارض الواقع لان الإشعاع الشمسي يتغير لحظياً؛ لذلك لو افترضنا أن المعامل الحراري للطاقة القصوى للوح الشمسي (P_M Temperature Coefficient) المستخدم في التجربة هي (-0.47%) عند الظروف القياسية (STC) والمتمثلة بدرجة حرارة اللوح الشمسي البالغ (٢٥ م°) وأشعاع شمسي ثابت يبلغ (١٠٠٠) وات/م^٢ فيمكننا حساب العلاقة بين درجة الحرارة وقدرة وكفاءة اللوح بتطبيق المعادلة (٧) والحصول على النتائج الظاهرة في الجدول (٥).

$$\eta_l = \Delta T \times TC \quad (7)$$

حيث أن:

η_l : الفاقد في كفاءة اللوح الشمسي (%).

ΔT : الفرق بين درجة حرارة اللوح الشمسي ودرجة حرارة (٢٥ م°)

TC : المعامل الحراري للطاقة القصوى للوح الشمسي (P_M Temperature Coefficient) وتتراوح قيمته المعامل الحراري بين $(-0.50\% \text{ _ } -0.35\%)$ للألواح السليكونية المتبلورة، وتتراوح ما بين $(-0.25\% \text{ _ } -0.20\%)$ لألواح الفلم الرقيق.

$$\eta_l \text{ at } 10:00 = 20.98 \times 0.47 = 9.8606\%$$

$$\eta_l \text{ at } 11:00 = 22.78 \times 0.47 = 10.7066\%$$

$$\eta_l \text{ at } 12:00 = 23.18 \times 0.47 = 10.8946\%$$

$$\eta_l \text{ at } 13:00 = 24.18 \times 0.47 = 11.3646\%$$

$$\eta_l \text{ at } 14:00 = 25.18 \times 0.47 = 11.8346\%$$

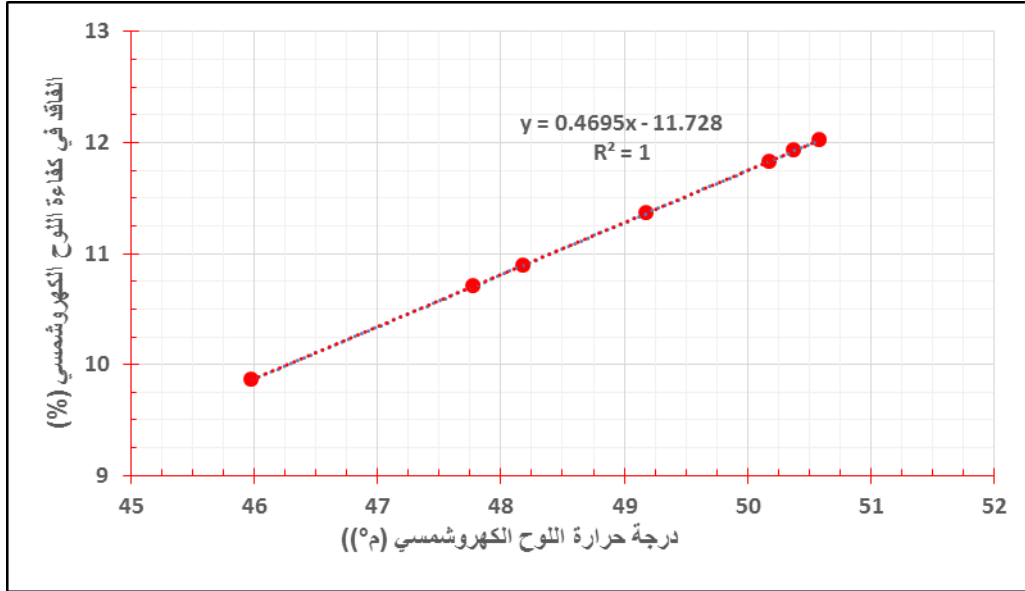
$$\eta_l \text{ at } 15:00 = 25.58 \times 0.47 = 12.0226\%$$

جدول (٥) تأثير درجة حرارة الهواء و درجة حرارة اللوح الكهروضمسي على الفاقد في كفاءة اللوح (η_l) عند أشعاع شمسي (١٠٠٠) وات/م^٢ في مدينة دهوك

الفاقد في الكفاءة (%) Losses In Efficiency (η_l) (%)	درجة حرارة اللوح الشمسي (م) Solar Cell temperature (°C)	درجة حرارة الهواء (م) Air temperature (°C)	الزمن Time
9.86	45.98	30.1	١٠:٠٠
10.71	47.78	31.9	١١:٠٠
10.89	48.18	32.3	١٢:٠٠
11.36	49.18	33.3	١٣:٠٠
11.83	50.18	34.3	١٤:٠٠
12.02	50.58	34.7	١٥:٠٠
11.93	50.38	34.5	١٦:٠٠

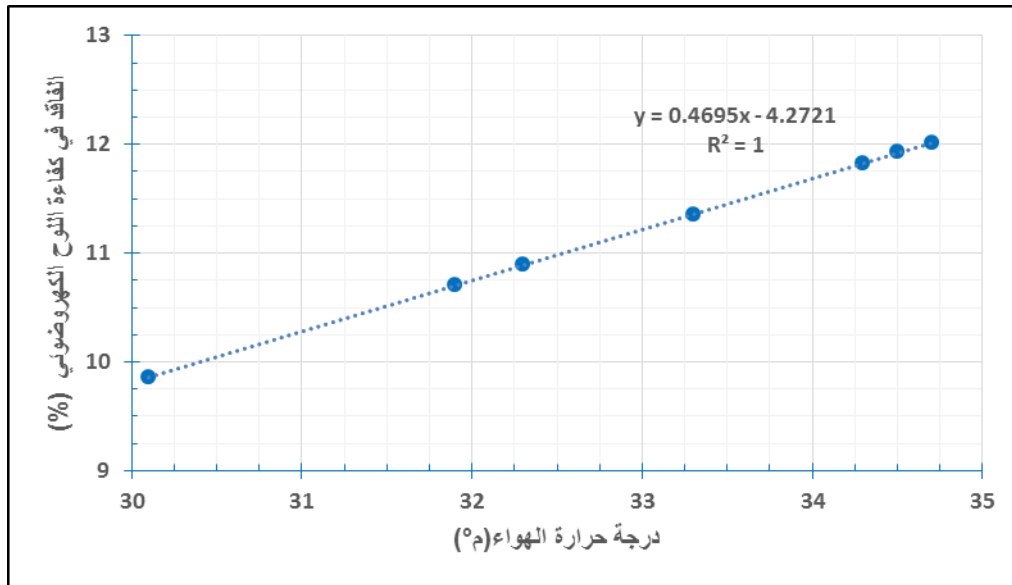
المصدر: الدراسة الميدانية، ٢٠١٩.

شكل (٦) علاقة درجة حرارة اللوح الكهروضويسي بفاقد الكفاءة عند أشعاع شمسي (١٠٠٠) واط/م^٢ في مدينة دهوك



المصدر: اعتماداً على بيانات الجدول (٥).

شكل (٧) علاقة درجة حرارة الهواء بفاقد الكفاءة عند أشعاع شمسي (١٠٠٠) واط/م^٢ في مدينة دهوك



اعتماداً على بيانات الجدول (٥).

من تحليل الجدول (٥) والشكلان (٦) و (٧) نجد أن العلاقة بين درجة الحرارة والفاقد في كفاءة اللوح الكهروضويسي علاقة طردية تامة عند ثبات الإشعاع الشمسي (١٠٠٠) وات/م^٢، إذ نجد أن أعلى فاقد في كفاءة اللوح الكهروضويسي (١٢.٠٢%) يتزامن مع أعلى درجة حرارة مسجلة وبالبالغة (٥٠.٥٨ °م) بالنسبة للوح الكهروضويسي و (٣٤.٧ °م) بالنسبة

للهواء، وأن أدنى فاقد في كفاءة اللوح الكهروضويسي والبالغ (٩.٨٦%) تتزامن مع أدنى درجة حرارة مسجلة والبالغة (٤٥.٩٨ م°) بالنسبة للوح الكهروضويسي و (٣٠.١ م°) بالنسبة للهواء. كما تستنتج أن نسبة الفاقد في كفاءة اللوح الكهروضويسي تزداد بمقدار (٠.٤٦٩٥%) لكل درجة حرارة واحدة فوق الـ (٢٥ م°).

الاستنتاجات: Conclusions

توصلت الدراسة الى العديد من النتائج ومن أهمها:

- أن العلاقة ما بين الرطوبة النسبية والإشعاع الشمسي علاقة غير خطية قوية ($R^2=0.858$)، فهي علاقة عكسية من الساعة (١٠:٠٠) وحتى الساعة (١٢:٠٠) بينما تكون العلاقة بينهما طردية من الساعة (١٣:٠٠) حتى الساعة (١٦:٠٠).
- أن العلاقة ما بين الرطوبة النسبية ودرجة حرارة الهواء علاقة خطية عكسية قوية ($R^2=0.964$)، إذ أن الرطوبة النسبية تزداد بانخفاض درجة حرارة الهواء، وذلك لان الهواء يقل حجمه عند انخفاض درجة حرارته ونتيجة لذلك تقل كمية بخار الماء اللازمة لكي يصل هذا الهواء إلى حالة التشبع وبالتالي فإن الرطوبة النسبية تقل والعكس صحيح.
- أن العلاقة بين الإشعاع الشمسي وكفاءة اللوح الشمسي علاقة أسية طردية متوسطة ($R^2=0.6317$)، كما أن قوة العلاقة بين الإشعاع الشمسي وأقصى قدرة اللوح الشمسي علاقة خطية طردية قوية ($R^2=955$) وأن العلاقة بينهما علاقة طردية؛ حيث أن الكفاءة وأقصى قدرة للوح الشمسي تزداد تدريجيا مع زيادة الإشعاع الشمسي لتبلغ كل من الكفاءة والوقدرة ذروتهاما لتصلان (١٢.٨%) و (٧٣.١ واط) عند منتصف النهار والذان يتزامنان مع ذروة الإشعاع الشمسي الذي يبلغ (٨٢٥.٤٤) واط / م^٢.
- من الممكن تقدير كفاءة اللوح الشمسي من خلال كمية الإشعاع الشمسي الكلي التي يستلمها.
- يمكن تقدير درجة حرارة اللوح الشمسي وذلك من خلال درجة حرارة الهواء وكمية الأشعاع الشمسي عند منتصف النهار.

- أن العلاقة بين درجة الحرارة والفاقد في كفاءة اللوح الكهروضمسي علاقة طردية تامة عند ثبات الإشعاع الشمسي (١٠٠٠) وات/م^٢، إذ نجد أن أعلى فاقد في كفاءة اللوح الكهروضمسي (١٢.٠٢%) يتزامن مع أعلى درجة حرارة مسجلة وبالبالغة (٥٠.٥٨ م°) بالنسبة للوح الكهروضمسي و (٣٤.٧ م°) بالنسبة للهواء.
- أن نسبة الفاقد في كفاءة اللوح الكهروضمسي تزداد بمقدار (٠.٤٦٩٥%) لكل درجة حرارة واحدة فوق الـ (٢٥ م°) عند أشعاع شمسي (١٠٠٠) واط/م^٢ في مدينة دهوك.

ABSTRACT

**The Effect of Humidity, Temperature and Total Solar Radiation on The Efficiency of Polycrystalline Solar Panel in in Dohuk city
-A Study in Applied Climate-**

KEYWORDS: PV system, relative humidity, effect of temperature,

Faten Khalid AbdulBaqi

Khudhur R. Abdulrahman

Geography Department

Geography

Department

College of Humanities Science

College of

Education for Humanities

University of Duhok

University of Mosul

Humidity, temperature and total solar radiation are among the factors affecting the performance of the solar Panel systems. This research presents the effect of these factors on the efficiency of the polycrystalline solar panel under the climatic conditions of the city of Duhok, and the effect of relative humidity on solar radiation and Temperature has been practically verified. The results of the practical study showed that the relationship between relative humidity and solar radiation is a strong non-linear relationship ($R^2 = 0.858$), since it is an inverse relationship during morning hours, while it became direct relationship during the afternoon hours. Additionally, the relationship between solar irradiance and the efficiency of the photovoltaic panel is a normal exponential relationship ($R^2 = 0.6317$), while the relationship between the solar radiation and the maximum power of the solar panel is a strong direct linear relationship ($R^2 = 955$). Furthermore, the relationship between the temperature of the PV panel and the percentage of efficiency loss is a complete direct relationship, as this percentage increases by (0.4695%) for every one temperature rise above (25 °C).

المصادر والهوامش:

- [1] Pidwirny, M., 2020. Chapter 12: Atmospheric Hydrology. In: M. Pidwirny, *Understanding Physical Geography*. Our Planet Earth Publishing, British Columbia, Canada, p.3.
- [2] علي محمد عبدالله، الطاقة المتجددة: الطاقة الحرارية طاقة الرياح، الطاقة الشمسية، وكالة الصحافة العربية، ٢٠١٨، ص ٤١-٤٢.
- [3] Lion K. N., 2020. *An Introduction to atmospheric Radiation*. Second Edition, United States of America, P. 54.
- [4] Hachem-Vermette C., 2020. *Solar Buildings And Neighborhoods: Design Considerations For High Energy Performance*. Springer, Switzerland, p.5. <https://doi.org/10.1007/978-3-030-47016-6>.
- [5] Zheng H., 2017. *Solar Energy Desalination Technology*. Elsevier, P.53.
- [6] Rosa-Clot M. and Tina G., 2018. *Submerged And Floating Photovoltaic Systems: Modelling, Design And Case Studies*. 1st ed. Academic Press, Elsevier, P.١٨. DOI: <https://doi.org/10.1016/C2016-0-03291-6>.
- [7] Martinez-Gracia, A., 2020. Solar energy availability. In: F. Calise, M. D'Accadia, M. Santarelli, A. Lanzini and D. Ferrero, ed., *Solar Hydrogen Production: Processes, Systems and Technologies*. Switzerland: Academic Press, Elsevier, p.118.
- [8] Harrison R., 2015. *Meteorological Instruments And Measurements*. 1st ed. John Wiley & Sons, Chichester, UK, p.151.
- [9] Begum F., 2018. *Solar Panel Improvement: 1950-2016: For Solar, By Solar, To Solar*. Xlibris Corporation Bloomington, Indiana, USA, P.7.
- [10] Righini G. and Enrichi F., 2020. Solar cells' evolution and perspectives: a short review. In: G. Righini and F. Enrichi, ed., *Solar Cells and Light Management: Materials, Strategies and Sustainability*. Elsevier, PP.17-18. <https://doi.org/10.1016/B978-0-08-102762-2.00001-X>.
- [11] اعتماداً على حكومة إقليم كردستان، وزارة التخطيط، مديرية التخطيط العمراني في محافظة دهوك، ٢٠١٩ وبرنامج ArcMap10.7.1.
- [12] Sharma H., Haque A. and Jaffery Z., 2018. Modeling and Optimisation of a Solar Energy Harvesting System for Wireless Sensor Network Nodes. *Journal of Sensor and Actuator Networks*, 7(40), p.127. doi: 10.3390/jsan7030040.

[13] حسب معامل ارتباط بيرسون والذي يوضح اتجاه وقوة العلاقة بين متغيريين (X,Y) والذي من الممكن استخراجها بسهولة في برنامج (Excel) عن طريق دالة (Correl) وفق المعادلة التالية:

$$Correl(x, y) = \frac{\sum(x - \bar{x})(y - \bar{y})}{\sqrt{\sum(x - \bar{x})^2 \sum(y - \bar{y})^2}}$$

حيث ان:

\bar{x} : المتوسط الحسابي لقيم (x).

\bar{y} : المتوسط الحسابي لقيم (y).

- [14] Braun H., Buddha S., Krishnan V., Tepedelenlioglu C., Spanias A., Takehara T., Yeider T., Banavar M. and Takada S., 2012. *Signal Processing For Solar Array Monitoring, Fault Detection, And Optimization*. Morgan & Claypool, San Rafael, Calif., USA, P.13.
- [15] Fesharaki, V., Dehghani, J. and Fesharaki, J., 2011. The Effect of Temperature on Photovoltaic Cell Efficiency. In: *Proceedings of the 1st International Conference on Emerging Trends in Energy Conservation - ETEC*. [online] Semantic Scholar, p.2. Available at: <<https://www.semanticscholar.org>> [Accessed 6 July 2020].
- [16] Solanki C., 2015. *Solar Photovoltaics: Fundamentals, Technologies And Applications*. 3rd ed. PHI Learning Private Limited, Delhi, P.367.
- [17] Duffie A., Beckman A., 1991. *Solar Engineering of Thermal Processes*. 2nd edition, Wiley, New York.